

РУКОВОДЯЩИЙ ТЕХНИЧЕСКИЙ МАТЕРИАЛ

КРАНЫ ГРУЗОПОДЪЕМНЫЕ
СОЕДИНЕНИЯ ШПОНЧНЫЕ.
МЕТОДЫ РАСЧЕТА

МИНИСТЕРСТВО ТЯЖЕЛСТНОГО И ТРАНСПОРТНОГО
МАШИНОСТРОЕНИЯ

МОСКВА 1977

РУКОВОДЯЩИЙ ТЕХНИЧЕСКИЙ МАТЕРИАЛ
РТМ 24.090.16-76
КРАНЫ ГРУЗОПОДЪЕМНЫЕ
СОЕДИНЕНИЯ ШПОНЧНЫЕ.
МЕТОДЫ РАСЧЕТА

**Министерство тяжелого и транспортного
машиностроения**
Москва

РАЗРАБОТАН Всесоюзным научно-исследовательским и проектно-конструкторским институтом подъемно-транспортного машиностроения, погрузочно-разгрузочного и складского оборудования и контейнеров (ВНИИПТМАШ)

Директор

Комашенко А.Х.

Заведующий отделом стандартизации

Оболенский А.С.

Руководитель темы

Спицына И.О.

Всесоюзным заочным политехническим институтом (ВЗПИ)

Профессор по научной работе

Малиновский В.А.

Руководитель темы

Ивашков И.И.

Руководитель к

Асвадуров Д.С.

Исполнитель

ВНЕСЕН Всесоюзным научно-исследовательским и проектно-конструкторским институтом подъемно-транспортного машиностроения, погрузочно-разгрузочного и складского оборудования и контейнеров (ВНИИПТМАШ)

Директор

Комашенко А.Х.

ПОДГОТОВЛЕН К УТВЕРЖДЕНИЮ Главным управлением подъемно-транспортного машиностроения.

Главный инженер

Пирогов В.К.

УТВЕРЖДЕН Министерством тяжелого и транспортного машиностроения

Заместитель Министра

УДК

Группа Г 86

РУКОВОДЯЩИЙ ТЕХНИЧЕСКИЙ МАТЕРИАЛ

Краны грузоподъемные
Соединения шпоночные
Методы расчета

РТМ 24.090.16 - 76

Вводится в действие

Письмом Министерства тяжелого и транспортного машиностроения от "9" февраля 1976 г. № ~~ст~~ даный руководящий материал утвержден в качестве рекомендуемого,

Настоящий РТМ распространяется на шпоночные соединения валов с муфтами, зубчатыми колесами и другими деталями.

РТМ содержит методику расчета неподвижных и подвижных соединений при помощи призматических шпонок (нах стандартных, так и нестандартных), а также неподвижных при помощи клиновых (резьбовых и на лыске) и тангенциальных шпонок.

1. ШПОНКИ ПРИЗМАТИЧЕСКИЕ

1.1. Шпонки призматические стандартных размеров (см. Табл.1) рассчитываются на смятие боковых рабочих граней.

Для призматических шпонок нестандартных размеров проводятся два вида расчета:

- расчет на смятие боковых рабочих граней шпонки;
- расчет шпонки по напряжению среза.

Нагружочная способность соединений определяется меньшим из двух значений крутящего момента, полученных расчетом на смятие и на срез. При шпоночном соединении с помощью двух призматических шпонок, которые слегка располагать под углом 120° друг

к другу, принимается, что обе шпонки могут передать только полуторный крутящий момент по отношению к крутящему моменту, передаваемому одной шпонкой.

1.2. Расчет на смятие производится по формуле

$$\sigma = \frac{5M}{d h l_p} \leq [\sigma]_{cm} \text{ кг/см}^2 \quad (1)$$

или

$$[M]_{cm} = \frac{d h l_p [\sigma]_{cm}}{5} \text{ кгсм} \quad (2)$$

Таблица I

Шпонки призматические обыкновенные (выборка из ГОСТ 8788-68 и 8789-68). Шпонки клиновые (выборка из ГОСТ 8791-68, 8792-68 и 8793-68). Шпонки призматические высокие (выборка из ГОСТ 107 ...).

| Диаметр вала, d | Ширина шпонки, b | Толщина шпонки, h | | Длина шпонки, l |
|--------------------|---------------------|----------------------|---------|--------------------|
| | | обыкно- веннои | высокой | |
| От 6 до 8 | 2 | 2 | - | От 6 до 20 |
| св. 8 " 10 | 3 | 3 | - | " 6 " 36 |
| " 10 " 12 | 4 | 4 | - | " 8 " 45 |
| " 12 " 17 | 5 | 5 | - | " 10 " 56 |
| " 17 " 22 | 6 | 6 | - | " 14 " 70 |
| " 22 " 30 | 8 | 7 | - | " 18 " 90 |
| " 30 " 38 | 10 | 8 | 9 | " 22 " 110 |
| " 38 " 44 | 12 | 8 | 11 | " 28 " 140 |
| " 44 " 50 | 14 | 9 | 12 | " 36 " 160 |
| " 50 " 58 | 16 | 10 | 14 | " 45 " 180 |
| " 58 " 65 | 18 | 11 | 16 | " 50 " 200 |
| " 65 " 75 | 20 | 12 | 18 | " 56 " 220 |
| " 75 " 85 | 22 | 14 | 20 | " 63 " 250 |
| " 85 " 95 | 25 | 14 | 22 | " 70 " 280 |
| " 95 " 110 | 28 | 16 | 25 | " 80 " 320 |
| " 110 " 130 | 32 | 18 | 28 | " 90 " 360 |
| " 130 " 150 | 36 | 20 | 32 | " 100 " 400 |
| " 150 " 170 | 40 | 22 | 36 | " 100 " 400 |
| " 170 " 200 | 45 | 25 | 40 | " 110 " 450 |

- σ - среднее давление на боковых рабочих гранях шпонки, кг/см²;
 M - расчетный крутящий момент, передаваемый соединением, кг·м;
 d - диаметр вала в ступице, см;
 h - толщина шпонки, см;
 l_p - рабочая длина шпонки, (см. черт. 1), см;
 $[\sigma]_{sh}$ - допускаемое напряжение смятия, принимаемое по табл. 2,
 кг/см²;
 $[M]_{sh}$ - допускаемый соединением крутящий момент (для одной шпонки), кг·см.

I 3. Расчет на срез (для нестандартных шпонок) производится по формуле

$$\tau = \frac{2M}{\pi b l_p} \leq [\tau]_{cp} \text{ кг/см}^2; \quad (3)$$

или

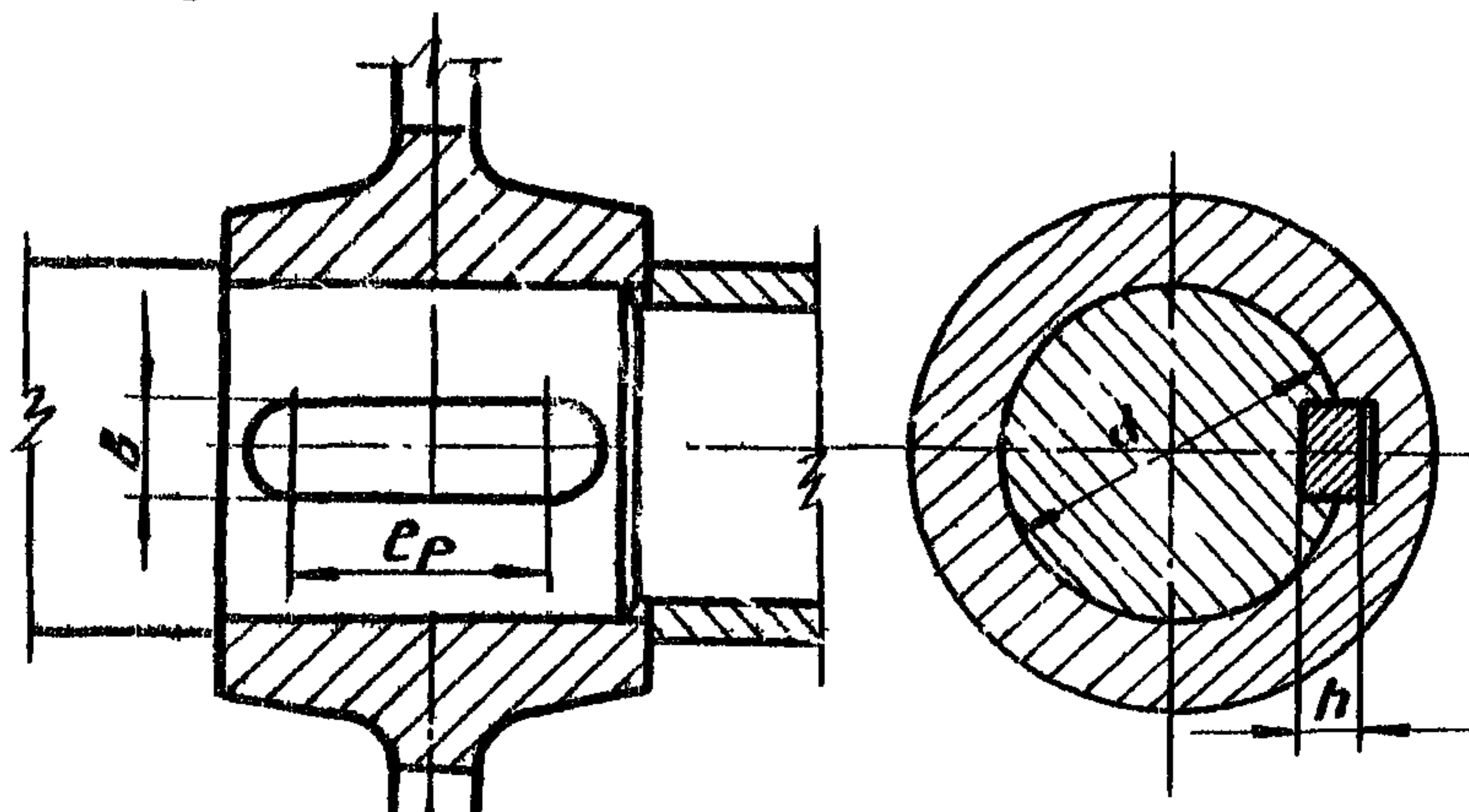
$$[M]_{cp} = \frac{\pi b l_p [\tau]_{cp}}{2} \text{ кгсм}, \quad (4)$$

- где τ - среднее напряжение среза шпонки, кг/см²;
 M, d, l_p - см. пояснения к формулам (1) и (2);
 b - ширина шпонки (см. черт. 1), см;
 $[\tau]_{cp}$ - допускаемое напряжение среза, принимаемое по табл. 3,
 кг/см²;
 $[M]_{cp}$ - допускаемый соединением крутящий момент (для одной
 шпонки), кгсм.

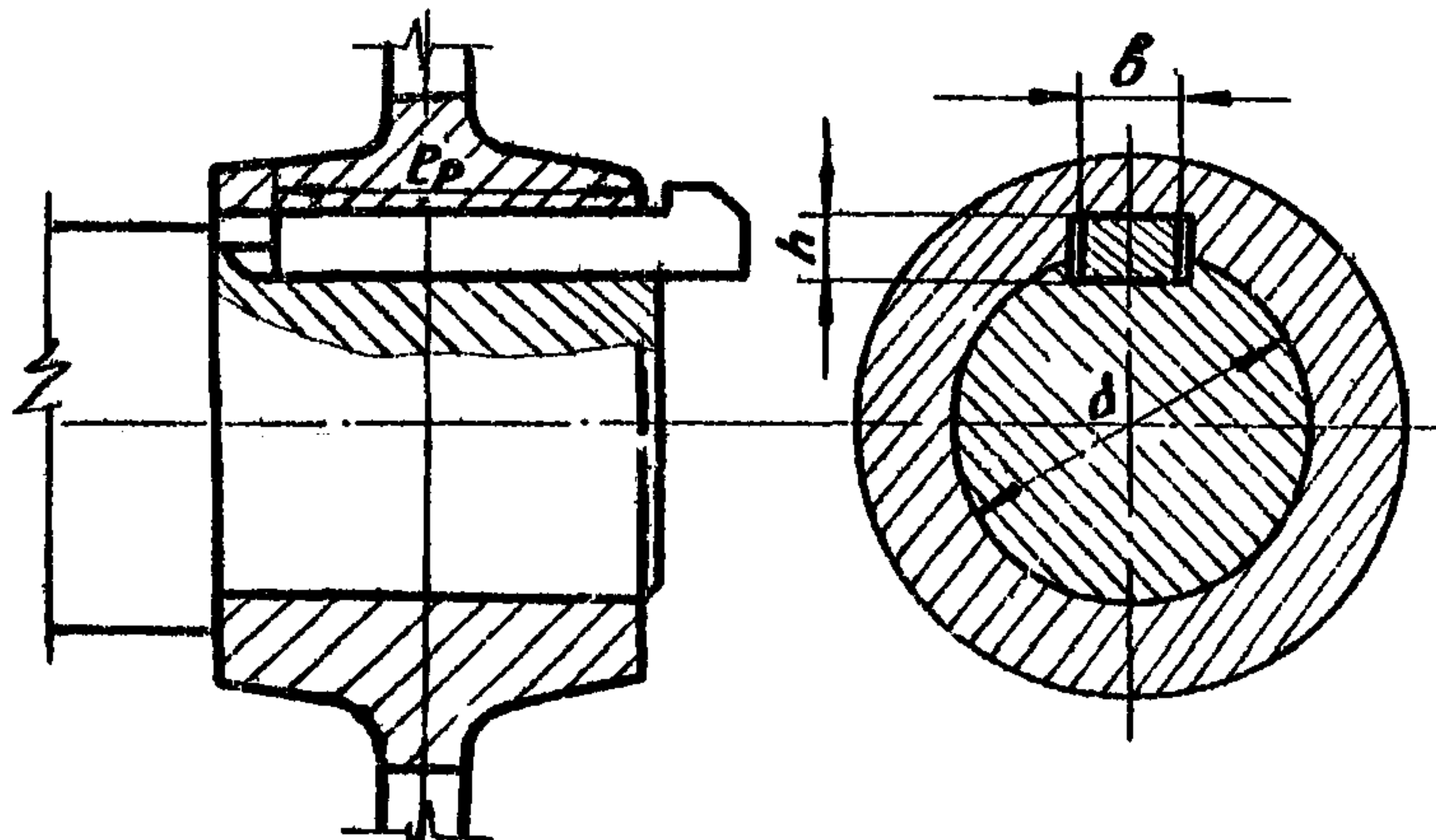
2. ШПОНКИ КЛИНОВЫЕ

Расчет ведется на смятие рабочих граней шпонки по формулам

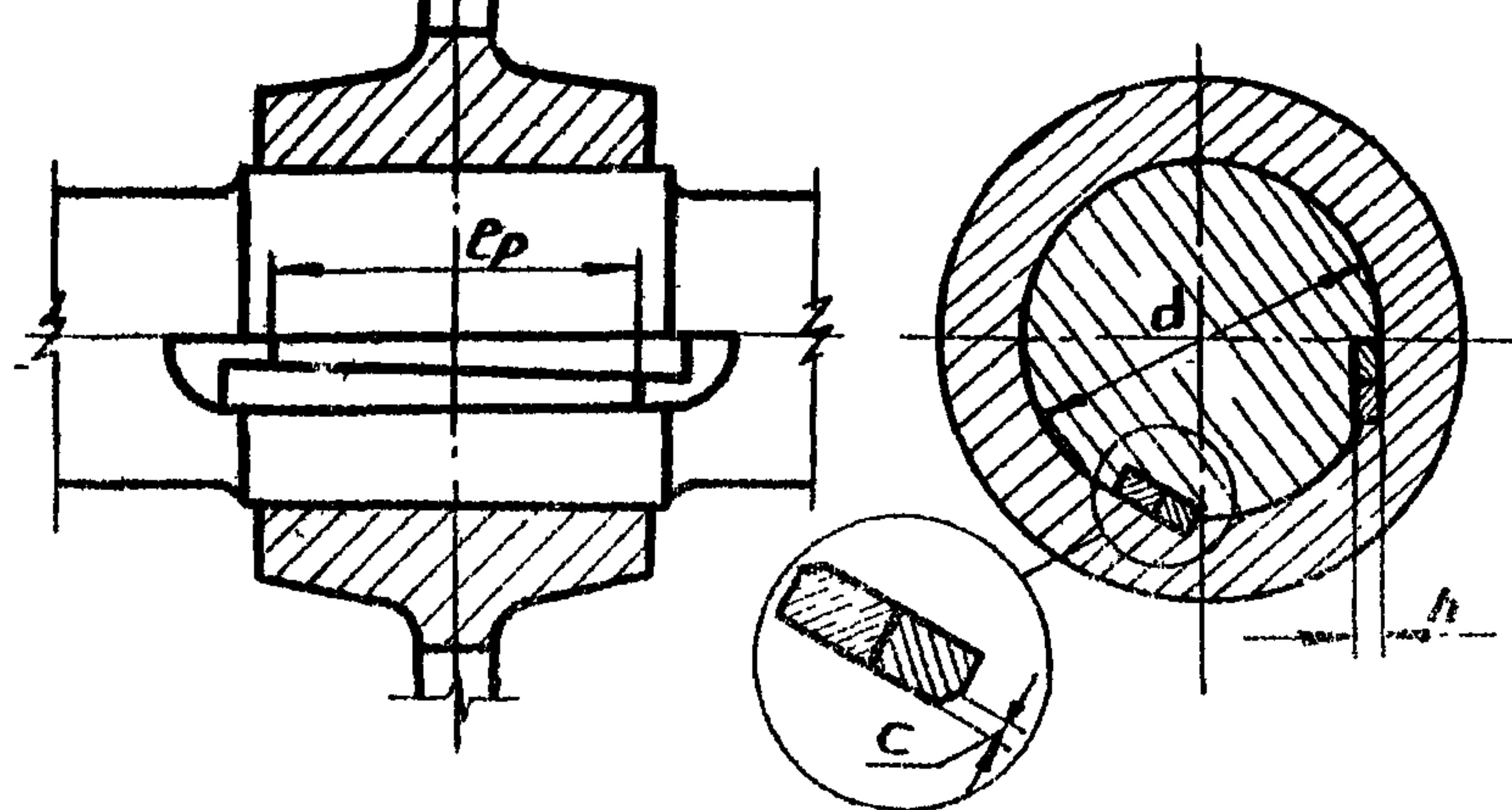
$$\sigma = \frac{12M}{b l_p (b + 6,8 f_d)} \leq [\sigma]_{sh}, \text{ кг/см}^2 \quad (5)$$



Черт. 1. Соединение призматической шпонкой



Черт. 2. Соединение кляповой шпонкой



Черт.3. Соединение тангенциальной шпонкой

Таблица 2
Допускаемые напряжения смятия σ_{c4} , кг/см² для соединений
призматическими шпонками

| Вид соединения | Материал | Режим работы | | | |
|--------------------------|----------|-----------------|-----------------|-----------------|--------------------|
| | | Легкий (1,2) | Средний (2,3) | Тяжелый (4,5) | Весьма тяжелый (6) |
| Нагрузка знакопостоянная | | | | | |
| Неподвижное | Сталь | 0,65 σ_T | 0,6 σ_T | 0,55 σ_T | 0,5 σ_T |
| | Чугун | 0,65 σ_E | 0,6 σ_E | 0,55 σ_E | 0,5 σ_E |
| Подвижное | Сталь | 0,22 σ_T | 0,2 σ_T | 0,18 σ_T | 0,16 σ_T |
| Нагрузка знакопеременная | | | | | |
| Неподвижное | Сталь | 0,43 σ_T | 0,4 σ_T | 0,36 σ_T | 0,33 σ_T |
| | Чугун | 0,43 σ_E | 0,4 σ_E | 0,36 σ_E | 0,33 σ_E |
| Подвижное | Сталь | 0,17 σ_T | 0,16 σ_T | 0,15 σ_T | 0,14 σ_T |
| Нагрузка ударная | | | | | |
| Неподвижное | Сталь | 0,22 σ_T | 0,2 σ_T | 0,18 σ_T | 0,16 σ_T |
| | Чугун | 0,22 σ_E | 0,2 σ_E | 0,18 σ_E | 0,16 σ_E |
| Подвижное | Сталь | 0,13 σ_T | 0,12 σ_T | 0,11 σ_T | 0,1 σ_T |

Примечания: 1. Допускаемые напряжения смятия выбираются по материалу наименее прочной детали (ступицы, вала, шпоночные соединения).

2. σ_T – предел текучести стали.

3. σ_E – предел прочности при растяжении чугуна.

4. В скобках указаны примерные режимные группы по РС 5138-75 "Техника безопасности. Краны грузоподъемные. Классификация режимов работы механизмов".

Таблица 3
Допускаемые напряжения среза $[T]_{cr}$ кг/см²

| Вид соединения | Материал | Режим работы | | | |
|--------------------------|---------------------|-------------------|--------------------|--------------------|-------------------------|
| | | Легкий (1,2) | Средний (2,3) | Тяжелый (4,5) | Весьма тяжелый (6) |
| Нагрузка знакопостоянная | | | | | |
| Неподвижное | Сталь чисто-тянутая | 0,50 σ_t | 0,46 σ_t | 0,43 σ_t | 0,40 σ_t |
| Подвижное | | 0,16 σ_t | 0,15 σ_t | 0,14 σ_t | 0,13 σ_t |
| Нагрузка знакопеременная | | | | | |
| Неподвижное | шпонок | 0,35 σ_t | 0,32 σ_t | 0,30 σ_t | 0,28 σ_t |
| Подвижное | ГОСТ | 0,12 σ_t | 0,11 σ_t | 0,10 σ_t | 0,09 σ_t |
| Нагрузка ударная | | | | | |
| Неподвижное | | 0,22 σ_t | 0,20 σ_t | 0,18 σ_t | 0,16 σ_t |
| Подвижное | | 0,08 σ_t | 0,07 σ_t | 0,06 σ_t | 0,05 σ_t |

Примечание. См. примечание к табл.2

Таблица 4
Допускаемые напряжения смятия $[S]_{cr}$ кг/см² для
соединений клиновыми шпонками

| Материал | Режим работы | | | |
|--------------------------|-------------------|--------------------|--------------------|-------------------------|
| | Легкий (1,2) | Средний (2,3) | Тяжелый (4,5) | Весьма тяжелый (6) |
| Нагрузка знакопостоянная | | | | |
| Сталь | 0,43 σ_t | 0,40 σ_t | 0,36 σ_t | 0,33 σ_t |
| Чугун | 0,43 σ_p | 0,40 σ_p | 0,36 σ_p | 0,33 σ_p |
| Нагрузка знакопостоянная | | | | |
| Сталь | 0,30 σ_t | 0,28 σ_t | 0,26 σ_t | 0,24 σ_t |
| Чугун | 0,30 σ_p | 0,28 σ_p | 0,26 σ_p | 0,24 σ_p |
| Нагрузка ударная | | | | |
| Сталь | 0,22 σ_t | 0,20 σ_t | 0,18 σ_t | 0,16 σ_t |
| Чугун. | 0,22 σ_p | 0,20 σ_p | 0,18 σ_p | 0,16 σ_p |

Примечание. См. примечание к табл.2.

или

$$[M]_{\text{ди}} = \frac{\sigma' p (b + 6,8 f d)}{12} [\sigma]_{\text{ди}}, \text{кгсм} \quad (6)$$

где

σ' - расчетное напряжение смятия на рабочих гранях шпонки, кг/см²;

M - расчетный крутящий момент, передаваемый соединением, кг.см;

b - ширина шпонки (см. табл. 1), см;

l_p - рабочая длина шпонки, см;

d - диаметр вала в ступице, (см. черт. 2), см;

$f = 0,12$ - коэффициент трения между шпонкой и сопрягаемыми деталями;

$[\sigma]_{\text{ди}}$ - допускаемое напряжение смятия на рабочих гранях шпонки, принимаемое по табл. 4;

$[M]_{\text{ди}}$ - допускаемый соединением крутящий момент, кгсм.

3. ШПОНКИ ТАНГЕНЦИАЛЬНЫЕ

Расчет ведется на одну шпонку (на одну пару клиньев), т.к каждая шпонка передает крутящий момент только в одном направлении.

$$\sigma = \frac{M}{(0,45 + \frac{2}{\pi} f) d l_0 (h - c)} \leq [\sigma]_{\text{сп}} \text{ кг/см}^2 \quad (7)$$

или

$$[M]_{\text{сп}} = (0,45 + \frac{2}{\pi} f) d l_0 (h - c) [\sigma]_{\text{сп}} \text{ кгсм} \quad (8)$$

где

σ - среднее давление на боковых рабочих гранях шпонки, кг/см^2 ;

M - расчетный крутящий момент, передаваемый соединением, кгсм ;

d - диаметр вала в ступице (см. черт. 3), см;

h - толщина шпонки (см. табл. 4), см;

l_0 - рабочая длина шпонки, см;

$f = 0,12$ - коэффициент трения между шпонкой и сопрягаемыми деталями;

$[\sigma]_{\text{сп}}$ - допускаемое напряжение смятия на рабочих гранях шпонки, принимаемое по табл. 5;

$[M]_{\text{сп}}$ - допускаемый соединением крутящий момент, кг см ;

c - ширина фаски на рабочей грани шпонки (см. табл. 6), см.

Таблица 5
Допускаемые напряжения смятия $\{67 \text{ см кг/см}^2$ для
соединений тангенциальными шпонками

| Материал | Режим работы | | | |
|--------------------------|-------------------|--------------------|--------------------|-------------------------|
| | Легкий (1,2) | Средний (2,3) | Тяжелый (4,5) | Весьма тяжелый (6) |
| Нагрузка знакопостоянная | | | | |
| Сталь | 0,30 σ_t | 0,28 σ_t | 0,26 σ_t | 0,24 σ_t |
| Чугун | 0,30 σ_b | 0,28 σ_b | 0,26 σ_b | 0,24 σ_b |
| Нагрузка ударная | | | | |
| Сталь | 0,22 σ_t | 0,20 σ_t | 0,18 σ_t | 0,16 σ_t |
| Чугун | 0,22 σ_b | 0,20 σ_b | 0,18 σ_b | 0,16 σ_b |

Примечание. См примечание к табл.2.

Таблица 6

Шпонки тангенциальные (выборка из ГОСТ 8796-68 и 8797-68)

Размеры сечений шпонок, мм

| Диаметр вала, <i>d</i> | Шпонки нормальные | | Шпонки усиленные | |
|---------------------------|--|---------------------------|--|---------------------------|
| | толщина [*] шпонки, <i>h</i> | ширина фаски, <i>c</i> | толщина [*] шпонки, <i>h</i> | ширина фаски, <i>c</i> |
| 60 | 7 | | | |
| 70 | | | | |
| 80 | 8 | | | |
| 90 | | | | |
| 100 | 9 | 1,6 | 10 | |
| 110 | | | 11 | |
| 120 | 10 | | 12 | |
| 130 | | | 13 | |
| 140 | II | | 14 | |
| 150 | | | 15 | |
| 160 | | | 16 | |
| 170 | 12 | | 17 | |
| 180 | | 2,0 | 18 | |
| 190 | | | 19 | |
| 200 | 14 | | 20 | |
| 210 | | | 21 | |
| 220 | | | 22 | |
| 240 | 16 | | 24 | 4,0 |

Примечание^{*} В расчет принимается толщина шпонки, равная глубине шпоночного паза по ГОСТ 8796-68 и 8797-68.

ПРИЛОЖЕНИЕ

ПРИМЕРЫ РАСЧЕТА

Пример I

Определить наибольшую величину крутящего момента, которым можно нагрузить неподвижное шпоночное соединение с одной нестандартной призматической шпонкой шириной $b = 1,8 \text{ см}$, толщиной $h = 1,6 \text{ см}$ и рабочей длиной $\ell_p = 3,7 \text{ см}$, установленной на валу диаметром $d = 6,0 \text{ см}$. Ступица чугунная, $\sigma_c = 1500 \text{ кг}/\text{см}^2$. Предел текучести материала вала $\sigma_f = 3000 \text{ кг}/\text{см}^2$. Предел текучести материала шпонки $\sigma_t'' = 3200 \text{ кг}/\text{см}^2$. Нагрузка знакопеременная. Режим работы тяжелый.

I. Определяем допускаемое напряжение смятия.

По табл. 2 при неподвижном соединении и знакопеременной нагрузке для тяжелого режима работы имеем:

$$\text{для стали: } [\sigma]_{cm}^c = 0,36. \quad \sigma_t''' = 0,36 \quad \sigma_t'' = 0,36 \cdot 3000 = \\ = 1080 \text{ кг}/\text{см}^2$$

$$\text{для чугуна } [\sigma]_{cm}^{чуг} = 0,36. \quad \sigma_c = 0,36 \cdot 1500 = 540 \text{ кг}/\text{см}^2$$

$$\text{Принимаем } [\sigma]_{cm} = [\sigma]_{cm}^{чуг} = 540 \text{ кг}/\text{см}^2$$

2. Находим наибольший крутящий момент из расчета на смятие;

$$[M]_{cm} = \frac{d h \ell_p [\sigma]_{cm}}{5} = \frac{6 \cdot 1,6 \cdot 3,7 \cdot 540}{5} = 3830 \text{ кг}\cdot\text{м}$$

3. Определяем допускаемое напряжение среза.

По табл. 3 при неподвижном соединении и знакопеременной нагрузке для тяжелого режима работы имеем:

$$[\tau]_{cp} = 0,3. \quad \sigma_t''' = 0,3 \cdot 3200 = 960 \text{ кг}/\text{см}^2$$

4. Находим наибольший крутящий момент из расчета на срез.

$$[M]_{cp} = \frac{d b \ell_p [\tau]_{cp}}{2} = \frac{6 \cdot 1,8 \cdot 3,7 \cdot 960}{2} = 19000 \text{ кг}\cdot\text{см}$$

5. Наибольшая величина крутящего момента определяется меньшим значением двух полученных крутящих моментов

$$M_{\max} = [M]_{\text{см}} = 3820 \text{ кгсм.}$$

Пример 2.

Определить наибольшую величину крутящего момента, которым можно нагружать неподвижное соединение с двумя стандартными шпонками шириной $b = 18 \text{ см}$, толщиной $h = 1,5 \text{ см}$ и рабочей длиной $l_p = 40 \text{ см}$, установленными на валу диаметром $d = 60 \text{ см}$. Все детали соединения стальные; наименьшее значение предела текучести $\sigma_y = 3000 \text{ кг/см}^2$. Нагрузка ударная. Режим работы весьма тяжелый.

1. Определяем допускаемое напряжение смятия.

По табл.2 при неподвижном соединении и ударной нагрузке для весьма тяжелого режима работы имеем

$$[\sigma]_{\text{сп}} = 0,16 \sigma_y = 0,16 \cdot 3000 = 480 \text{ кг/см}^2.$$

2. Находим наибольший крутящий момент, передаваемый одной шпонкой, из расчета на смятие

$$[M]_{\text{см}} = \frac{d \cdot l_p h [\sigma]_{\text{сп}}}{5} = \frac{6 \cdot 1,1 \cdot 4,80}{5} = 2520 \text{ кгсм.}$$

3. Определяем наибольший крутящий момент передаваемый соединением

$$M_{\max} = 1,5 [M]_{\text{см}} = 1,5 \cdot 2520 = 3780 \text{ кгсм.}$$

Пример 3.

Проверить допустимость крутящего момента $M = 100000 \text{ кгсм}$ для соединения вала диаметром $d = 15,5 \text{ см}$ одной клиновой шпонкой шириной $b = 4,0 \text{ см}$, толщиной $h = 2,2 \text{ см}$ и рабочей длиной $l_p = 16 \text{ см}$. Нагрузка знакостоянная. Режим работы средний. Все детали соединения стальные; наименьшее значение преде-

ла текучести $\sigma_t = 3200 \text{ кг/см}^2$.

1. Определяем напряжение смятия на рабочих поверхностях шпонки

$$\sigma_{\text{см}} = \frac{12M}{8l_p(8+6,8f_d)} = \frac{12 \cdot 100000}{4 \cdot 16(4+6,8 \cdot 0,12 \cdot 15,5)} = 1130 \text{ кг/см}^2$$

где $f_d = 0,2$ - коэффициент трения между шпонкой и сопрягаемыми деталями.

2. Определяем допускаемое напряжение смятия:

По табл. 4 для стали и знакостатичной нагрузки при среднем режиме работы $\zeta = 3$ имеем:

$$[\sigma]_{\text{дл}} = 0,4 \quad \sigma_t = 0,4 \cdot 3200 = 1280 \text{ кг/см}^2$$

3. Сравниваем действующее напряжение смятия с допускаемым $\sigma_{\text{см}} = 1130 < 1280 = [\sigma]_{\text{дл}}$, следовательно, крутящий момент $M = 100000 \text{ кгсм}$ для данного соединения допустим.

Пример 4

Определить наибольшую величину крутящего момента, которым можно нагрузить соединение вала диаметром $d = 24,0 \text{ см}$ тангенциальными шпонками толщиной $h = 1,6 \text{ см}$, рабочей длиной $l_p = 32,0 \text{ см}$, с фаской $c = 0,2 \text{ см}$. Нагрузка ударная. Режим работы легкий. Все детали соединения стальные; наименьшее значение предела текучести $\sigma_t = 3000 \text{ кг/см}^2$.

1. Определяем допускаемое напряжение смятия.

По табл. 5 для стали и ударной нагрузки при легком режиме работы имеем

$$[\sigma]_{\text{дл}} = 0,22 \quad \sigma_t = 0,22 \cdot 3000 = 660 \text{ кг/см}^2$$

2. Находим наибольший крутящий момент, передаваемый соединением.

$$[M]_{\text{см}} = (0,45 + \frac{2}{\pi} \cdot f) d l_p (h - c) [\sigma]_{\text{см}} =$$

$$= (0,45 + \frac{2}{3,14} \cdot 0,12) 24 \cdot 32 (1,6 - 0,2) \cdot 660 = 362000 \text{ кгсм.}$$